

структурной составляющей. Это обуславливает особый характер микрорельефа поверхности трения.

На рис. 2 представлен микрорельеф поверхности трения стали 30Г после 36 часов испытаний.

Совсем иной микрорельеф стали 25ХГСР (рис. 3), где видны отдельные «следы» микрорезания абразивными частицами.



Рис. 2 - Микрорельеф поверхности трения стали 30Г после 36 ч испытаний $\times 600$

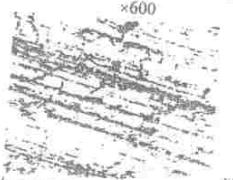


Рис. 3 - Микрорельеф поверхности трения стали 25ХГСР после 36 ч испытания $\times 600$

Для объяснения различия в скорости коррозии исследуемых сталей сравнивались их твердость. На рис. 4 приведены гистограммы твердости исследуемых сталей, из которых следует что наименьшую твердость имеет сталь 30Г, наибольшую – 25ХГСР.

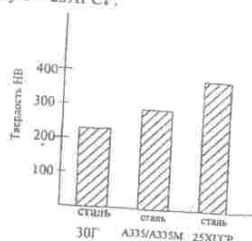


Рис. 4 - Гистограммы твердости исследуемых сталей

$\sim 234 \sim$

Выводы

1. Скорость коррозии стали 30Г в 5 раз больше, чем стали 25ХГСР. Отмеченные различия объясняются структурным состоянием и значениями твердости сталей.

3. Сталь 30Г имеет неоднородную феррито-перлитную структуру и твердость 220...250 НВ, а сталь 25ХГСР – однородную троцитную структуру и твердость 380...390 НВ.

4. После 36 часов испытаний в микрорельефе стали 30Г наблюдаются много рисок и канавок, а в стали 25ХГСР – видны отдельные следы микрорезания абразивными частицами.

ЛИТЕРАТУРА:

1. Гребенюк С.С. К вопросу о механизме абразивного изнашивания. С.С. Гребенюк // Проблемы трения и изнашивания. – К., Гахика, 1998. № 1. С. 15-20.
2. Генценбаум М.М. Иностойкость конструкционных материалов в листовой обработке и изнашивании. – М.М. Генценбаум. – М.: Машиностроение, 1969. 331 с.

УДК 517.972.5[4.18]

Семків О.М., Попова А.М.

Національний університет залізничного транспорту України, м. Харків
Шатохін В.М.

Харківський національний університет будівництва і архітектури

ІРО ОПТИМАЛЬНУ ФОРМУ ЛОПАТКИ РОТОРНОГО МЕТАЛЬНИКА ГРУНТУ

Вироблено метод пошуку оптимальної форми профілю лопатки роторного металоточного пресу, який базується на розв'язанні задачі про брахистохрону для поля відносинних сила.

Ключові слова: металоточний прес, обертаний ротор, форма профілю лопатки, елігістопрес, брахистохрон, функціональна функція руху, рівняння Ейлера.

Введено метод пошуку оптимальної форми лопатки роторного металоточного пресу, який базується на розв'язанні задачі про брахистохрону для поля відносинних сила. Постройка функціональна функція в полярній системі координат і запишено відповідне рівняння. Показано результати застосування теорії для знаходження оптимальної форми лопатки грунто-металоточного пресу.

Ключові слова: металоточний прес, обертаний ротор, форма профілю лопатки, центрифігальна сила, інерція, брахистохрон, функціональна функція руху, рівняння Ейлера.

Method of determination of ground-breaker's blade optimum form based on solution of brachistochrone problem for the field of centrifugal inertial forces. Blade of optimal shape – brachistochrone in the centrifugal force field, which equation had been obtained in polar coordinate system, is considered. The results of kinematic behaviour researches of moving particle are given.

$\sim 235 \sim$

Анотація

Вісник включає статті учених України, в яких висвітлюються результати фундаментальних та промислових досліджень з приоритетних напрямів: охорона навколошного середовища, ресурсозберігаючі технології, будівництва та будівельної промисловості, нові будівельні матеріали та конструкцій, підвищення ефективності капітальних вкладень, підвищення рівня механізації та автоматизації промислових процесів.

Для наукових працівників і спеціалістів у галузі будівництва, бажаючої бути засвоєною фірмами та підприємствами, можуть бути застосовані в юному свою рекламу.

Аннотація

Вестник включається в склад статей учених України, в яких висвітлюються результати фундаментальних та прикладних досліджень з приоритетних напрямів: охорона навколошного середовища, ресурсозберігаючі технології в строительстві та структуральній промисловості, нові будівельні матеріали та конструкції, підвищення ефективності капітальних вкладень, підвищення рівня механізації та автоматизації промислових процесів.

Для наукових працівників і спеціалістів в області будівництва.

Бажаючої бути засвоєною фірмами та підприємствами, можуть бути застосовані в юному свою рекламу.

Редакторська колегія: Збр. наук. Д.Ф.Гончарова (главний редактор) д-р. техн. наук О.П.Іванюк, д-р. техн. наук В.В.Віндріков, д-р. техн. наук В.С.Иムукаев, д-р. техн. наук О.Ф.Іспакко, д-р. техн. наук С.М.Ільин, д-р. техн. наук О.Л.Вільямберг, д-р. техн. наук О.О.Фоменко, д-р. техн. наук В.І.Краснік, д-р. техн. наук В.Н.Мирейко, канд. техн. наук С.Сінік, В.Н.Лук'янченко (редактор), І.І.Рогульська (засновник-заступник редактора).

Затверджено підручну видану протоколом №22/2012 р. №2 від 26.10.2012 р.

Адреса редакційного відділу: 61005, Харків, Сумська вул., 40, ХНУВАУ, кв. 2000-603

Харківський національний
університет будівництва
та архітектури, 26/2

Харківська обласна
територіальне відділення
Академії будівництва
України, 2012

НАУКОВИЙ ВІСНИК БУДІВНИЦТВА

Вип. 70

Зареєстровано 22.04.97 р. серія № 457 Головним комітетом інформації Харківської обласної державної адміністрації, переверстровано 23.11.2010 р. серія КВ № 7253-6023 ГР. Міністерством юстиції України та Постановою Президіуму ВАК України №1-05/8 від 22.12.2010 р.

Харків
ХНУВАУ
ХОТВ АБУ
2012

Постановка проблеми. При створенні технічних пристрів певного класу виникає проблема вибору форми напрямних, у яких рухаються матеріальні частини (шприцат, грунт) під дією індентрових сил. Зокрема, як тутаюно з проблемою створення грунтотехнічних механізмів, використовуваних для гасіння пожеж у місцевостях з дефектами джерел води [1-5]. На практиці застосовують роторні грунтотехнічні [2-5], які та же помогают прикреплені до обертового ротора лопаток підіймують пісок з грунту до зони загоряння. Технологічні характеристики цих пристріїв залежать від геометричної форми й розташування лопаток. Це веде до актуальності дослідження форм профілю лопаток, включаючи їх рух яким є оптимальної форми.

Аналіз існуючих досліджень і публікацій. У джобах [2, 3, 5] проведений дослідження з вибору параметрів грунтотехнічних профілів лопаток яких є прямолінійними. Переослаганням було використання лопаток з криволінійними профілями [4]. Методи вибору будь-якої форми в аналітичному вигляді зазначено не були. Важко зробити висновок, чи можна отримати оптимальну форму лопатки може бути функцією часу ачи незалежною формою якої є сам індентровий силінер, яка забезпечує максимальний рух. Прототипом схеми про брахістокрону у вигляді індентрових сил вважаємо, що висновка щодо брахістокрони для одновимінних подій вказана в диференціальному методі [6-10], але вже в [7] сформульовано залогові умови про виникнення центральної сили в підковуванні. У статті [8] вискладено метод знаходження траекторії точки за умови мінімуму часу руху при дії індентрової сили інерції.

Постановка завдання та його вирішення. Розробити методи залідання і роз'яснення функціональної часу під час руху при брахістокроні у вигляді індентрових сил інерції, що визначить оптимальний за геометричною формою профілю лопаток металевій грунт.

Розв'язанням завдання про функціональний час руху у вигляді індентрових сил є проводити в полярній системі координат.

Найменша функціональна сила. Нехай точка A є відстанню r_0 від центру інерції сили індентування – індентрових сил із центром в точці O (рис. 1). Проведемо через точку A , що є центр O індентування, вісь руху, що починається в точці B розташованій на лінії OA . Позначимо α кривину току, щоб матеріальна точка, яка виходить із A зі швидкістю $v_0 = 0$ рухається інше із лінією індентрової сили, засвоїв додаткову за мінімальним часом.

Уведемо полярну систему координат ρ, ϕ , що є центральну у зваженні току. Поточні координати точки M позначимо, як ρ і ϕ ; координати точок A і B позначимо (ρ_0, ϕ_0) і (ρ_1, ϕ_1) . Проекція відрізка

від точки B до рівняння матеріальної точки, накладаної з обертовим тілом, на підліжок реалізується так видно:

$$T_p^2 = \rho \dot{\phi}^2 \rho_0 = m \omega^2 \rho, \quad (1)$$

де m – маса точки; ω – обертове (нормальнє) прискорення; ω – кутова швидкість.

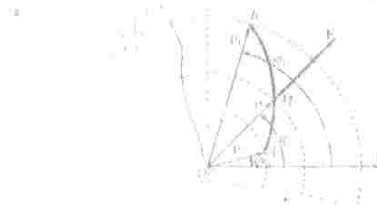


Рис. 1 – Схема зображення побудови брахістокрони у вигляді індентрових сил

Тоді підраздядаємо потенціальну енергію відцентрової сили наступним чином:

$$H = \int_{\rho_0}^{\rho_1} E_p d\rho = m \omega^2 \int_{\rho_0}^{\rho_1} \rho d\rho = \frac{m \omega^2}{2} \rho_1^2 - \frac{m \omega^2}{2} \rho_0^2. \quad (2)$$

При заміні формули (2) приймаємо, що початкова потенціальна енергія відцентрової сили з використуваним центром (точкою O) є негативною, а енергія зорівного центру

Якщо вислухати садити термін H опір, то має місце закон збереження енергії у відносному русі у рівнірівній обертавшійся системі координат [9]:

$$T + H + D = const, \quad (3)$$

де $T = \frac{1}{2} m v^2$ – кінетична енергія точки у відносному русі, D – енергія обертової системи координат, $H = \frac{m \omega^2}{2} \rho_0^2$ – початкова енергія.

Надалі вислухатимемо, що у формулі (3) враховується відсутність індентування силою індентування, що є інерцією. З початку вислухання в наявності відсутній відцентровий ток. У результаті обертання пристрою кутова швидкість ω та відстань ρ змінюються на рух точок з початком. При цьому рух є орієнтований (точками не застосовується ефект виникається гібрид).

З урахуванням виразу (2) формула (3) набуває вигляду

$$\frac{mv^2}{2} + \frac{m\omega^2}{2} \rho^2 = \frac{m\omega^2}{2} \rho_0^2. \quad (4)$$

задано формулу для обчислення праці відносно точки

$$v = \rho \sqrt{p^2 - p_0^2} - (p \cdot p_{\perp 0}), \quad (5)$$

координати алгебраїчної величини швидкості (простий позначення відповідно до траекторії) $v = v_t = \frac{dp}{dt}$, вирізу для квадрата диференціалу в упорядкованих координатах $dv^2 = dp^2 + p^2 dp^2$ і формула (5) спливає, що

$$\frac{dp}{v} = \frac{dp}{\rho \sqrt{p^2 - p_0^2}} = d\rho, \quad (6)$$

$$\text{де } \rho' = \frac{dp}{dp}.$$

Ця виділку дуги у напрямку руху точки з диференціалом шляху лінійно залежить від диференціалом дуги координати $d\rho$, а модуль повідомності руху є диференціально відмінного $v = v_t$.

Інтегруючи, одержимо функціонал

$$I[\rho(p)] = \int_{p_0}^{p_f} \frac{\sqrt{p'^2 - p_0^2}}{\rho'} d\rho, \quad (7)$$

Припустимо функціонал I є інтегралом функції його залежності t : поєднання

$$P = P(p, p') = \frac{\sqrt{p'^2 - p_0^2}}{\sqrt{p^2 - p_0^2}}, \quad (8)$$

На кривій, яка реалізує окрему розв'язок цього функціонала (7), виконується умова, яка виникає в наявності умов екстремуму функціонала (6)

$$P_p = \frac{d}{dp} P_p = 0, \quad (9)$$

або $P_p, P_{p'} \equiv 0$ від P незалежно від p та p' .

Також чином, незалежні функції $p = p(\phi)$ є розв'язками диференціального рівняння другого порядку (9), або їх використанням позначенням $\rho = \frac{dp}{d\phi}$ в просторотичному підсценді

$$f_{\phi} = F_{\phi p} - F_{\phi p'} \lambda - F_{\phi}/R = 0. \quad (10)$$

Рівняння (10) є рівнянням Гільберта. В розглянутому випадку R замість маси від p та p' тому функціяно виконує роль джемпактів

$$f_{\phi} = F_{\phi p} - F_{\phi p'} \lambda = 0, \quad (11)$$

тому що $F_{\phi p} = 0$.

Якщо вимножити всі компоненти рівняння (11) на ρ' , то ліва частина це

перетворюється в формулюючу:

$$\frac{d}{d\phi} \left(P - p P_p \right).$$

Оськльки рівняння Гільберта має перший інтеграл

$$\int_{p_0}^{p_f} \frac{1}{\sqrt{p'^2 - p_0^2}} d\phi = \frac{1}{C}, \quad (12)$$

У результаті отримуємо

$$P_p = \frac{p'}{\sqrt{p'^2 - p_0^2}} = \frac{p'}{p^2 - p_0^2}, \quad (13)$$

тому формула (12) набуває вигляду

$$\int_{p_0}^{p_f} \frac{1}{\sqrt{p'^2 - p_0^2}} d\phi = \frac{1}{C}. \quad (14)$$

Диференціальне рівняння (14) допускає алгебраїчний розв'язок, який відповідає формульному вигляду, який виконується

$$\begin{cases} \arctg \frac{p}{p_0} = \frac{1}{C} & C \neq 0 \\ \arctg \frac{p}{p_0} = \frac{1}{C} & C \neq 0 \\ \arctg \frac{p}{p_0} = \frac{1}{2\sqrt{p^2 - p_0^2}} + \left(C_1 \right) C^{-1} A & C = 0 \end{cases} \quad (15)$$

$$= \frac{1}{\sqrt{p^2 - p_0^2}} + L. \quad (16)$$

Від використання початкових C та C_1 в зважуванням (16) виконується крім іншого

$$\text{при } \lambda = 0, \quad p = p_{0\lambda}, \quad \Rightarrow \quad d\phi = \frac{1}{\sqrt{p^2 - p_0^2}} dt = \frac{1}{\sqrt{p_0^2 - p_0^2}} dt = dt. \quad (17)$$

$$\text{при } \lambda = 0, \quad P = P(p_{0\lambda}) = \text{const}, \quad \Rightarrow \quad \frac{1}{\sqrt{p^2 - p_0^2}} = \frac{1}{\sqrt{p_{0\lambda}^2 - p_0^2}}. \quad (18)$$

На цій граничній стисненій точці (15) набуваєть вигляду

якому піднодіде: $C = \sqrt{c^2 - 0,627}$. У відповідності до другим завданням (20) або (22) з рахуванням (18) для C_1 маємо

$$C_1 = \varphi_0 \left\{ 1 - \frac{1}{\sqrt{1 - c^2}} \right\} \frac{\pi}{2} - \varphi_1 - \operatorname{arctg} \sqrt{\frac{C^2 p_1^2}{p_1^2 - p_0^2}} + \pi$$

$$\frac{1}{\sqrt{1 - C^2}} \operatorname{arctg} \sqrt{\frac{p_1^2}{p_1^2 - p_0^2}} - 1 = 0,415.$$

Знайдені значення частинки $C = C_1$ за допомогою формул (15) і (16) позволяють записати вираз для пошукової функції

$$\phi(\rho) = \operatorname{arctg} \frac{\sqrt{C^2 p_1^2 - 1}}{\sqrt{p_1^2 - p_0^2}} + \frac{1}{\sqrt{1 - C^2}} \operatorname{arctg} \frac{\sqrt{p_1^2 - p_0^2}}{\sqrt{1 - C^2}} + C_1. \quad (24)$$

Графік цієї функції представлений на рис. 4, а, б, якщо не буде зручний для аналізу графік оберненої функції $\psi(\rho)$ — на рис. 4, б [11].

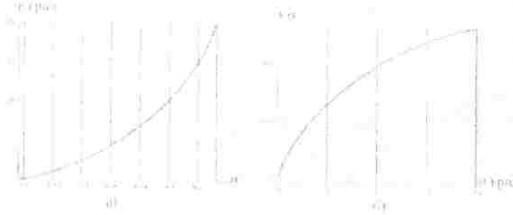


Рис. 4. Графики функції (а) та її оберненої (б).

На зображеній ізображено графіків залежностей $\psi(\rho)$ у полярній системі координат (рис. 5) для граничних значень ρ , які відповідають межам поширення функції (24) ($c^2 < 1$ є для побудовою розглянутих значення ρ_1 та ρ_2 використовується кутовим 20°).

Подальше дослідження ходу залежності поширення функції $\psi(\rho)$ від залежності від залежності оптимальних траекторій від параметрів.

Висновки

1. Розроблене методом роз'язання кінцевої задачі про брехістонове для точок, які рухаються під дією вільного прискорення.

2. Нобудовано функціональну базу в полярній системі координат.

3. Отримано перший інтеграл рівняння Ейлері з формі инференційного рівняння перигонотріпеда, який дозволяє отримати розв'язок.

~242 ~

4. Наведено результати рахунків траекторій для вибору оптимальної форми логотипу металевого грунту.

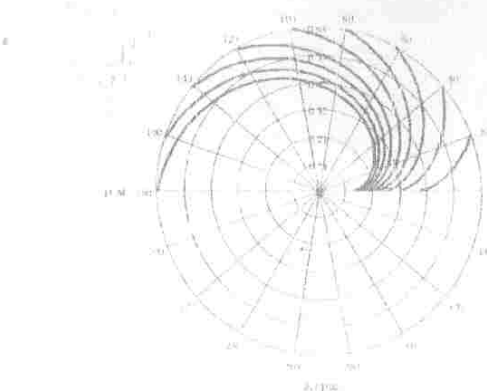


Рис. 5. Графіки функції $\psi(\rho)$ для граничних значень $\rho_1 < \rho < \rho_2$ при різних значеннях φ .

ЛІТЕРАТУРА:

- Семенів О.М. Виробництво рівного по розподілу та структурі піску металевого грунту. Семенів О.М., Шатохін В.М. // Міжнародний науково-технічний з'єднання "Геометрическое моделирование графиков". Випуск 87. К.КРУЛЬ, 2011. С. 302-312.
- Семенів О.М. Доведення траекторії руху піску грунту по кривій залежності поверхні піску від залежності розподілу піску. Семенів О.М., Наумова І.М. // Інститутський державний агротехнологічний університет. Мелітополь. ІДАГУ. 2012. Вип. 4. С. 54. С. 126-134.
- Ногонь А.М. Доведення руху піску грунту по кривій залежності комп'ютерних скінер-сканерів. Ногонь А.М., Шатохін В.М. // Інститутський державний агротехнологічний університет. Мелітополь. ІДАГУ. 2012. Вип. 4. С. 54. С. 135-144.
- Семенів О.М. Несиметричне рухення частинки грунту по площині з профілем піску після пісчаної кінки по залежності. Семенів О.М., Шатохін В.М., Бочкою А.Н. // Міжнародний науково-технічний з'єднання "Геометрическое моделирование графиков". К.КРУЛЬ, 2012. Вип. 90. С. 165-174.
- Шатохін В.М. Исследование движений частинки грунта по слою пісчано-пісчаними, виброструйными роторами грунтометателям. Шатохін В.М., Шатохіна П.В., Бочкою А.Н. // Міжнародний науково-технічний з'єднання "Геометрическое моделирование графиков". К.КРУЛЬ, 2012. Вип. 90. С. 385-396.
- Ольдрідж Г.Л. Диференціальні уравнення з варіаційним методом. Загальний вид. — Загальний вид. —

~243 ~